

# Quelques aspects relatifs aux rayons X

## CNC-2018-mp-physique II

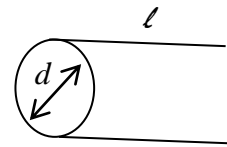
Corrigé proposé par M.AAZIZI, CPGE Béni Mellal : aazizi.3000@gmail.com

23 - Mai - 2018

### I- Généralité sur les rayons X :

I-1.1- L'expression de la résistance du filament est :

$$R = \rho \cdot \frac{l}{S} = \boxed{\rho \cdot \frac{4.l}{\pi.d^2}}$$



I-1.2- La puissance dissipée dans le filament par effet JOULE est :

$$\boxed{P_J = R.I_C^2}$$

I-1.3- Loi de Stefan (ou de Stefan-Boltzmann) :

la puissance surfacique totale rayonnée par un corps noir portée à la température T est :

$$\boxed{P_s = \sigma.T^4}$$

Elle est aussi égale à la puissance totale absorbée par le corps noir en équilibre.

I-1.4- En négligeant tous phénomènes autres que l'effet Joule et le rayonnement thermique du filament, à l'équilibre de ce dernier on peut écrire que :

$$P_J = P_s.S_L = P_s.\pi.d.l \Rightarrow \pi.d.l.\sigma.T^4 = \rho \cdot \frac{4.l}{\pi.d^2}.I_C^2 \Rightarrow \boxed{I_C = T^2 \cdot \frac{\pi}{2} \cdot \sqrt{\frac{\sigma.d^3}{\rho}}}$$

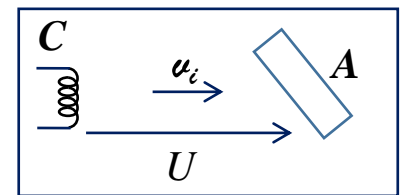
A.N.  $\boxed{I_C = 8,25A}$

Courant du même ordre de grandeur des courants électrocinétiques habituels.

I-1.5- Le théorème de l'énergie cinétique

s'écrivant :  $\Delta E_c = W_e$

$$\Rightarrow \frac{1}{2}m(v^2 - 0^2) = -e.(U_C - U_A) \Rightarrow \boxed{v = \sqrt{\frac{2.e.U}{m}}}$$



A.N.  $\boxed{v = 1,19.10^8 m.s^{-1}}$  appartient au domaine relativiste !

on doit utiliser l'expression relativiste de l'énergie cinétique.

$$(\gamma - 1).m.C^2 = e.U = \left( \frac{1}{\sqrt{1 - v^2/C^2}} - 1 \right).m.C^2 \Rightarrow \boxed{v = c \sqrt{1 - \frac{1}{\left(1 + \frac{e.U}{m.C^2}\right)^2}}}$$

A.N.  $\boxed{v = 1,13.10^8 m.s^{-1}}$

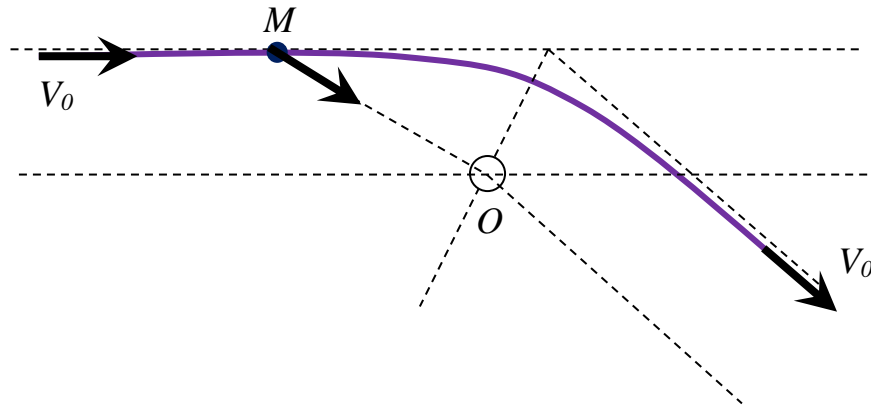
la correction relativiste valant 5%, est peu significative.

I-1.6- En considérant que **toute l'énergie cinétique** d'arrivée à l'anode est transformée en énergie radiative on a :

$$U.e = \Delta E_C = h.\nu_{\max} = \frac{h.C}{\lambda_{\min}} \Rightarrow \text{AN} \quad \lambda_{\min} = \frac{h.C}{e.U} = 31,12 \text{ pm}$$

I-1.7-

I-1.7.1- La force étant centrale attractive, le mouvement de l'électron est donc plan **hyperbolique " interne "** (de foyer O).



**Oui** le mouvement **est varié** de point de vue module et direction de la vitesse.

I-1.7.2- L'électron atteint l'anti-cathode avec une accélération nulle (mouvement quasi uniforme), mais dès qu'il pénètre dans le champ électrique du noyau, son accélération devient de plus en plus grande (puis re-diminue), l'énergie de l'électron varie donc de manière continue d'où émission d'un rayonnement d'accélération continu, d'intensité spectrale continue en fonction de la longueur d'onde  $\lambda$ .

I-2.1- La puissance électrique absorbée par le circuit de haute tension est :  $p = U.i = 400W$

I-2.2- La puissance rayonnée est :  $P_r = 1\%.p = 4W$

I-2.3- Le système s'échauffant à cause de l'énergie résiduelle (non rayonnée) égale à  $p - P_r = P_{nr} = 396W$ , d'où nécessité d'un refroidissement systématique du dispositif.

I-2.4- En appliquant le premier principe pour un système ouvert (en écoulement permanent) et en supposant que l'excédent énergétique est totalement absorbé par l'eau, on a :

$$D_e.\Delta(h + e_c + e_p) = P_{th} + P_u \Rightarrow D_e.c_e.\Delta\theta = P_{th} = p - P_r$$

$$\Rightarrow D_e = \frac{p - P_r}{c_e.(\theta_2 - \theta_1)} \quad \text{AN} \quad D_e = 2,71.10^{-3} kg.s^{-1}$$

## II-Transitions électroniques et spectres de raies atomiques

II-1.1-

II-1.1.1- La force exercée par le noyau sur l'électron

$$\vec{F} = \frac{-e^2}{4\pi\epsilon_0 \cdot r^2} \vec{u}_r = \frac{-k}{r^2} \vec{u}_r$$

L'application du théorème du moment cinétique TMC à l'électron en O, dans le référentiel R(OXYZ) de l'atome d'hydrogène supposé galiléen, s'écrivant :

$$\frac{d\vec{L}_O}{dt} = \vec{OM} \wedge \vec{F} = \vec{0} \Rightarrow \boxed{\vec{L}_O = \vec{Cte}} \text{ (caractérisant un mouvement plan)}$$

II-1.1.2- La LFD appliqué à l'électron donne  $m \cdot \vec{a} = \vec{F} \Rightarrow$

$$\vec{a} = \frac{-k}{m} \cdot \frac{1}{r^2} \cdot \vec{u}_r$$

$$\text{D'où : } m \cdot \left( \frac{dv}{dt} \vec{u}_\theta - \frac{v^2}{r} \vec{u}_r \right) = \frac{-k}{r^2} \vec{u}_r$$

$$\Rightarrow \frac{dv}{dt} = 0 \text{ et } v = \sqrt{\frac{k}{m \cdot r}} \quad \text{D'où : } \vec{L}_O = m \vec{r} \wedge \vec{v} = \boxed{\sqrt{m \cdot k \cdot r} \vec{u}_z}$$

II-1.1.3- Le travail élémentaire " reçu " par l'électron au cours d'un déplacement  $d\vec{OM}$  est  $\delta W = \vec{F} \cdot d\vec{OM} = \frac{-k}{r^2} \vec{u}_r \cdot d(r\vec{u}_r) = \frac{-k}{r^2} \vec{u}_r \cdot [(dr)\vec{u}_r + r \cdot (d\vec{u}_r)] = \frac{-k \cdot dr}{r^2} = d\left(\frac{k}{r}\right)$

d'où :  $\delta W = -d\left(\frac{-k}{r}\right)$ ,  $\vec{F}$  est donc conservative et dérive de l'énergie potentielle :

$$E_p(r) = \frac{-k}{r} + cte \text{ et comme } E_p(\infty) = 0 \text{ d'où : } \boxed{E_p(r) = \frac{-k}{r}}$$

II-1.1.4- L'énergie mécanique de l'électron, dans R(OXYZ) est :

$$E(r) = E_c + E_p(r) = \frac{1}{2} m \cdot v^2 - \frac{k}{r} = \boxed{-\frac{k}{2 \cdot r}}$$

II-1.2-

II-1.2.1- Expression du moment dipolaire électrique de l'atome d'hydrogène :

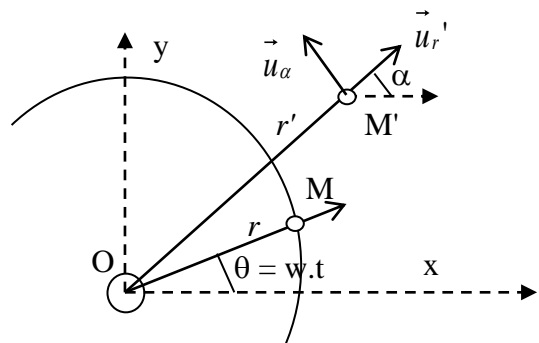
$$\vec{p} = (-q)\vec{NP} = e \cdot \vec{MO} = -e\vec{OM} = \boxed{-e \cdot r \cdot \vec{u}_r}$$

II-1.2.2-  $\vec{p} = -e \cdot r \cdot \vec{u}_r = -e \cdot r \cdot [\cos\theta \vec{u}_x + \sin\theta \vec{u}_y] = -e \cdot r \cdot \left[ \cos\left(\frac{v \cdot t}{r}\right) \vec{u}_x + \sin\left(\frac{v \cdot t}{r}\right) \vec{u}_y \right]$

$$= p_1(t) \vec{u}_x + p_2(t) \vec{u}_y \quad \text{où } p_1(t) = p_0 \cdot \cos(\omega t) \text{ et } \boxed{p_2(t) = p_0 \cdot \sin(\omega t)}$$

$$\text{Avec : } \boxed{p_0 = -e \cdot r} \text{ et } \omega = \frac{v}{r}$$

II-1.2.3- Le terme  $t' = t - r'/c$  est l'instant auquel le signal EM (l'onde électromagnétique) émane au niveau de l'atome (en O), qui attendra le point M' à l'instant t.



II-1.2.4- Au loin de l'atome (**zone dipolaire**), l'onde est localement plane, aussi le champ magnétique vérifie :  $c.\vec{B}_1 = \vec{u}_r' \wedge \vec{E}_1$

$$\begin{aligned} \text{d'où : } \vec{\pi}_1 &= \frac{\vec{E}_1 \wedge \vec{B}_1}{\mu_0} = \frac{1}{c.\mu_0} . \vec{E}_1 \wedge (\vec{u}_r' \wedge \vec{E}_1) = \frac{E_1^2}{c.\mu_0} . \vec{u}_r' \wedge (\vec{u}_r' \wedge \vec{u}_\alpha) = \frac{E_1^2}{c.\mu_0} . \vec{u}_r' \\ &= \frac{\left[ f_1(r', \alpha) . \ddot{p}(t-r'/c) \right]^2}{c.\mu_0} \vec{u}_r' = \boxed{\varepsilon_0 . c . \left[ f_1(r', \alpha) . \ddot{p}(t-r'/c) \right]^2 \vec{u}_r'} \end{aligned}$$

II-1.2.5- Le théorème de l'énergie mécanique appliqué à l'électron donne :

$$\begin{aligned} \frac{dE_m}{dt} = P_{NC} = -P_r &\Rightarrow \frac{d}{dt} \left( \frac{-k}{2.r} \right) = -\frac{2}{3} \frac{e}{c^3} \cdot \left( \frac{k}{m.r^2} \right)^2 \Rightarrow r^2 . dr = -\frac{4}{3} \frac{1}{c^3} \cdot \left( \frac{k}{m} \right)^2 . dt \\ \Rightarrow r^3 - r_0^3 &= -\frac{4}{c^3} \cdot \left( \frac{k}{m} \right)^2 . (t - t_0) \\ \Rightarrow \tau = \frac{(c.r_0)^3}{4} \cdot \left( \frac{m}{k} \right)^2 &\quad \text{AN} \quad \tau = 1,56.10^{-11} \text{ s} \end{aligned}$$

La durée est très courte, que le phénomène de crash atomique se produirait quasi instantanément.

II-1.3-

II-1.3.1- On a  $L_0 = \sqrt{m.k.r} = n.\hbar$  d'où  $r_n = \frac{(n.\hbar)^2}{m.k} = \boxed{\frac{4.\pi.\varepsilon_0}{m} \left( \frac{n.\hbar}{e} \right)^2}$

II-1.3.2- Rayon de BOHR (de l'atome d'Hydrogène dans son état fondamentale n=1) :

$$r_1 = \frac{4.\pi.\varepsilon_0}{m} \left( \frac{\hbar}{e} \right)^2 = \frac{m}{k} \left( \frac{\hbar}{m} \right)^2 \approx \boxed{53,24 \text{ pm} \approx 53,76 \text{ pm}}$$

II-1.3.3- Module de la vitesse  $v_n = \sqrt{\frac{k}{m.r}} = \frac{k}{n.\hbar} = \boxed{\frac{e^2}{n.4.\pi.\varepsilon_0.\hbar} = \frac{v_0}{n}}$

$$v_0 = \frac{e^2}{4.\pi.\varepsilon_0.\hbar} = \frac{k}{\hbar} \quad ; \quad \boxed{v_0 = 2,19.10^6 \text{ m.s}^{-1}}$$

Le mouvement de l'électron **n'est pas relativiste** car  $v_0 < 0,1.c$

II-1.3.4- L'énergie mécanique de l'électron est :

$$E_m = \frac{-k}{2.r} = \frac{-m}{2} \left( \frac{k}{n.\hbar} \right)^2 = \frac{-m}{2} \left( \frac{e^2}{4\pi\varepsilon_0.\hbar} \right)^2 \frac{1}{n^2} = \boxed{\frac{E_0}{n^2}}$$

Où  $E_0 = \frac{-m}{2} \left( \frac{e^2}{4\pi\varepsilon_0.\hbar} \right)^2 = \frac{-m}{2} \left( \frac{k}{\hbar} \right)^2$

II-1.3.5- Le passage de l'électron du niveau d'énergie p au niveau supérieur q > p

nécessite une énergie égale à  $\Delta E = h.v_{pq} \Rightarrow E_q - E_p = E_0 \cdot \left( \frac{1}{q^2} - \frac{1}{p^2} \right) = \frac{h.c}{\lambda_{pq}}$

$$\Rightarrow \frac{1}{\lambda_{pq}} = \frac{-E_0}{h.c} \cdot \left( \frac{1}{p^2} - \frac{1}{q^2} \right) = \boxed{R_H \cdot \left( \frac{1}{p^2} - \frac{1}{q^2} \right)}$$

$$R_H = \frac{m}{2.h.c} \left( \frac{e^2}{4\pi\epsilon_0 \cdot \hbar} \right)^2 = \boxed{\frac{m}{8.c.h^3} \left( \frac{e^2}{\epsilon_0} \right)^2}$$

II-1.3.6- L'énergie d'ionisation de l'atome d'Hydrogène est :

$$E.I. = E_\infty - E_{n=1} = -E_0 = \frac{m}{2} \left( \frac{e^2}{4\pi\epsilon_0 \cdot \hbar} \right)^2 = \boxed{13,50 \text{ eV}}$$

II-1.3.7- On a :  $\frac{1}{\lambda_{q \rightarrow 2}} = \frac{1}{\lambda_0} \cdot \left( \frac{1}{4} - \frac{1}{q^2} \right) \Rightarrow \lambda_{q \rightarrow 2} = \frac{\lambda_0}{\left( \frac{1}{4} - \frac{1}{q^2} \right)}$

$$\lambda_V < \lambda_{q \rightarrow 2} < \lambda_R \quad \text{ssi} \quad \lambda_V < \frac{\lambda_0}{\left( \frac{1}{4} - \frac{1}{q^2} \right)} < \lambda_R \quad \text{ssi} \quad \frac{1}{\sqrt{\left( \frac{1}{4} - \frac{\lambda_0}{\lambda_R} \right)}} < q < \frac{1}{\sqrt{\left( \frac{1}{4} - \frac{\lambda_0}{\lambda_V} \right)}}$$

Comme  $\lambda_V = 400 \text{ nm}$ ,  $\lambda_R = 800 \text{ nm}$  et  $\lambda_0 = 91,2 \text{ nm}$

D'où :  $2,71 < q < 6,74$  donc  $q = \{ 3, 4, 5, 6 \}$ .

q	3	4	5	6
$\lambda$ (nm)	$\lambda_1 = 410,4$	$\lambda_2 = 434,3$	$\lambda_3 = 486,4$	$\lambda_4 = 656,6$
	410	434	486	656

II-1.3.8- Les longueurs d'onde des rayons X sont dans l'intervalle [  $1 \text{ pm} - 1000 \text{ pm}$  ]

Alors que les transitions atomiques de l'Hydrogène produisent des rais de longueur d'onde comprise entre (91 200 pm et 5000 000 pm)  $\gg$  devant  $\lambda_X$ .

Ces transitions (de l'Hydrogène) **ne peuvent** donc pas produire des rayons X.

II-1.4-

II-1.4.1- Pour le cuivre ( $Z=29$ ), la couche la plus proche du noyau **est la couche K**

car son énergie est la plus basse, en effet :  $E_n = E_0 \cdot \left( \frac{Z}{n} \right)^2$  et  $r_n = r_0 \cdot \frac{n^2}{Z}$

Comme  $E_K < E_L < E_M$  donc  $n_K < n_L < n_M$  (car  $E_0 < 0$ ) donc  $\boxed{r_K < r_L < r_M}$

L'électron de la couche K est plus lié au noyau que l'électron L que celui de M.

II-1.4.2- Dans le cas de l'atome de cuivre :  $E_q - E_p = \frac{h.c}{\lambda_{pq}} \Rightarrow \lambda_{pq} = \frac{h.c}{E_q - E_p}$

$$\lambda_{L \rightarrow K} = \frac{h.c}{E_L - E_K} = \boxed{154,6 \text{ pm}} \quad \lambda_{M \rightarrow K} = \frac{h.c}{E_M - E_K} = \boxed{139,7 \text{ pm}}$$

Ces raies sont bien dans le domaine X.

**Extension :** On peut utiliser la formule de RITZ généralisée

$$\frac{1}{\lambda_{pq}} = \frac{-E_0 \cdot Z^{*2}}{h.c} \cdot \left( \frac{1}{p^2} - \frac{1}{q^2} \right) \text{ Donc } \lambda_{q \rightarrow K(p=1)} = \frac{\lambda_0}{Z^{*2} \left( 1 - 1/q^2 \right)}$$

reste à connaître la charge fictive  $Z^*$  (Notion hors programme dans le programme en cours : de 2013)

### III- Application : Utilisation des rayons X en imagerie médicale

$$\text{III-1- } dN_a = S \cdot dx \cdot n^* = S \cdot dx \cdot \frac{dN}{dV} = S \cdot dx \cdot \frac{dm \cdot N_A}{M \cdot dV} = \boxed{\frac{\rho \cdot N_A \cdot S \cdot dx}{M}}$$

III-2- **Modèle d'absorption :**

❖ Seuls quelques photons du faisceau sont absorbés par les atomes.

❖ La probabilité pour qu'un photon soit absorbée par un atome vaut  $\frac{S_a}{S}$

$$\Rightarrow \text{le nombre de photons absorbé est } p = \frac{S_a}{S} = \frac{n_{\text{absorbés}}}{n_{\text{incidents}}} = \frac{dN_a}{N(x)}$$

$$\text{III-3- } N(x) = N(x+dx) + dN_{\text{ab}} \text{ (pendant } dt) = N(x+dx) + \frac{\pi \cdot r_a^2}{S} \cdot N(x)$$

$$\Rightarrow dN = N(x+dx) - N(x) = -dN_a \cdot \frac{\pi \cdot r_a^2}{S} = \frac{-\rho \cdot N_A \cdot dx}{M} \cdot \frac{\pi \cdot r_a^2}{S} \cdot N(x)$$

$$\Rightarrow \boxed{\frac{dN(x)}{dx} + \frac{\rho \cdot N_A}{M} \cdot (\pi \cdot r_a^2) \cdot N(x) = 0}$$

III-4- L'équation différentielle :  $\frac{dN(x)}{dx} + \frac{\rho \cdot N_A}{M} \cdot (\pi \cdot r_a^2) \cdot N(x) = 0$  admet pour solution :

$$\boxed{N(x) = N_0 \cdot e^{-\mu \cdot x}} \quad \text{où } \mu = \frac{\pi \cdot r_a^2 \cdot \rho \cdot N_A}{M} \quad \text{(donnée par l'énoncé)}$$

III-5-

III-5.1- Le coefficient  $\mu$  représentant l'atténuation du faisceau X dans le matériau, ainsi plus il est grand plus forte est l'atténuation. **L'os absorbe plus** que le muscle. Ce fait explique pourquoi les muscles apparaissent sombres dans **les images latentes** radiographiques (à rayon X).

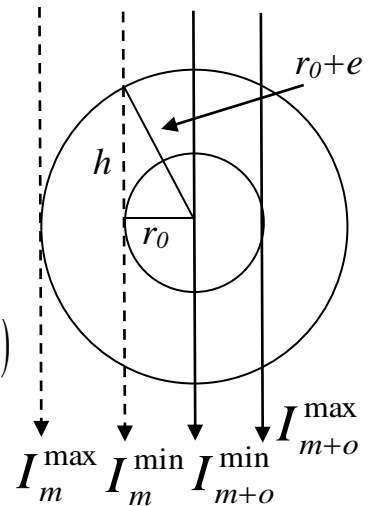
III-5.2- Le contraste est un paramètre qui **mesure la netteté** de la figure radiographique s'il est proche de l'unité l'image est de très bonne qualité. C varie de **0** à **1**

III-5.3- L'intensité de l'onde X en x est  $I(x) = \frac{N(x) \cdot h \cdot \nu}{S}$

D'où pour l'os (**os+muscle**) :

$$I_{m+o}^{\min} = I_0 \cdot \exp[-2 \cdot (\mu_m \cdot e + \mu_o \cdot r_0)] \quad \text{et} \quad I_{m+o}^{\max} = I_0 \cdot \exp[-\mu_m \cdot 2 \cdot \sqrt{e^2 + 2 \cdot e \cdot r_0}]$$

$$\boxed{C_o = \frac{\exp[-\mu_m \cdot 2 \cdot \sqrt{e^2 + 2 \cdot e \cdot r_0}] - \exp[-2 \cdot (\mu_m \cdot e + \mu_o \cdot r_0)]}{\exp[-\mu_m \cdot 2 \cdot \sqrt{e^2 + 2 \cdot e \cdot r_0}] + \exp[-2 \cdot (\mu_m \cdot e + \mu_o \cdot r_0)]}}$$



III-5.4- Pour le muscle :  $I_m^{\min} = I_0 \cdot \exp[-\mu_m \cdot 2 \cdot \sqrt{e^2 + 2 \cdot e \cdot r_0}]$  et  $I_m^{\max} = I_0$ .

$$\text{Soit } \boxed{C_m = \frac{1 - \exp[-\mu_m \cdot 2 \cdot \sqrt{e^2 + 2 \cdot e \cdot r_0}]}{1 + \exp[-\mu_m \cdot 2 \cdot \sqrt{e^2 + 2 \cdot e \cdot r_0}]}}$$

III-5.5- **AN**  $C_m = 0,112$  et  $C_o = 0,519$ , le muscle fournit une image moins contrasté ; Ce qui explique la qualité des images des zones osseuses.

III-5.6- Dans les zones de fracture ou fêlure, le coefficient d'atténuation sera relativement faible et fluctue spatialement, ce qui **dégrade la qualité** de l'image radiographique.

## IV-Application : Utilisation des rayons X en cristallographie

IV-1- Principe de HUYGENS –FRESNEL :

**Contribution de Huygens (1678) :** Christian.H.-math.phy.astro. Néerlandais

La lumière se propage de proche en proche, chaque élé de surface  $dS_p$  (de l'ouverture  $\Sigma$ ) atteint par l'onde se comporte comme une source secondaire fictive synchrone à la source primaire, émettant vers l'avant des ondes sphériques d'amplitude proportionnelle à  $dS_p$  et l'amplitude de l'onde incidente.

**Contribution de Fresnel (1818) :** Augustin Jean Fresnel- phy. Français

Les sources secondaires sont cohérentes entre elles.

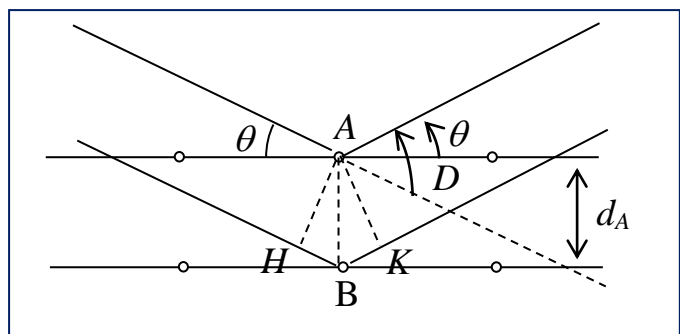
IV-2- D'après la figure en bas On a  $D = \theta + \theta = 2\theta$  (égalité d'angles opposés au sommet).

IV-3- Les surface d'onde d'un faisceau parallèle sont **des plans**, par application **du théorème de MALUS- DUPIN** : postulant que les surfaces d'onde sont orthogonales aux rayons lumineux (dans tout milieu isotrope).

IV-4- **Schéma** (ci- contre)

La **ddm** entre les deux rayons se diffractant sur deux files d'atomes voisines :

$$\delta_A (M) = (SM)_2 - (SM)_1 = 2 \cdot n_a \cdot HB = 2 \cdot d_A \cdot \sin \theta$$



IV-5- Les maxima d'intensité énergétique sont obtenue dans la condition d'interférences constructives, càd dans le cas où :

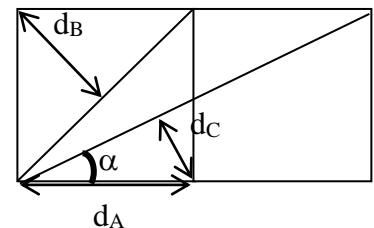
$$\delta_A (M) = n \cdot \lambda \Leftrightarrow 2 \cdot d_A \cdot \sin \theta_{\max,A} = n \cdot \lambda \quad \text{pour } n \in \mathbb{Z}$$

IV-6-

IV-6.1- Les distances interplanaires sont :

$$d_A = a \quad ; \quad d_B = \frac{a\sqrt{2}}{2} \quad ;$$

$$d_C = a \cdot \sin \alpha = a \cdot \sin \left( \arctan \left( \frac{1}{2} \right) \right) = a \cdot \sin \left( \arctan \left( \frac{1}{2} \right) \right) = \frac{a}{\sqrt{5}}$$



IV-6.2-  $r_1 = \frac{\sin(\theta_{\max,B})}{\sin(\theta_{\max,A})} = \frac{d_A}{d_B} = \sqrt{2}$  et  $r_2 = \frac{\sin(\theta_{\max,C})}{\sin(\theta_{\max,A})} = \frac{d_A}{d_C} = \sqrt{5}$  , diffraction à l'ordre car **n=1**.

IV-6.3- Comme d est inversement proportionnel à  $\sin(\theta_{\max})$ , il varie alors en sens inverse de  $\theta_{\max}$  ( car la fonction sin est croissante dans l'intervalle  $[0, \pi/2]$  )

d'où :  $\theta_1 \rightarrow A \quad ; \quad \theta_2 \rightarrow B \quad \text{et} \quad \theta_3 \rightarrow C$

$$a(1) = \frac{\lambda}{2 \sin(\theta_{\max,A})} = 410,926 \text{ pm} \quad ; \quad a(2) = \frac{\lambda \cdot \sqrt{2}}{2 \sin(\theta_{\max,B})} = 411,36 \text{ pm} \quad \text{et}$$

$$a(3) = \frac{\lambda \cdot \sqrt{5}}{2 \sin(\theta_{\max,C})} = 411,26 \text{ pm} \quad \text{D'où } a = a(\text{moyen}) = 411 \text{ pm}$$